

Filtri a fase nulla e a fase lineare

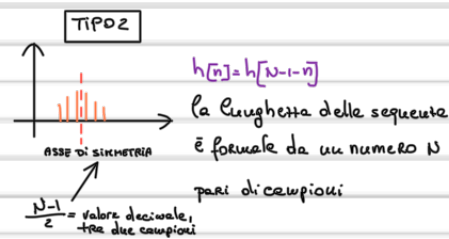
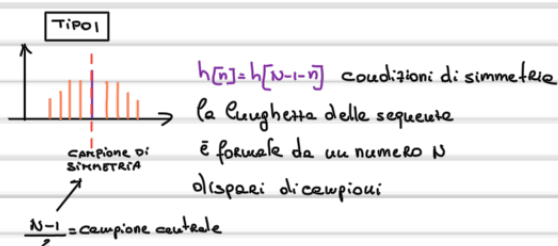
INTRODUZIONE

Utili ad esempio, dei sistemi di elaborazione d'immagine. Un filtro a fase lineare introduce un ritardo in ciascuno campione oppure un zero. La linearità della fase è legata alle simmetrie delle risposte impulsive che se è rispetto all'origine si ha un filtro a fase nulla.

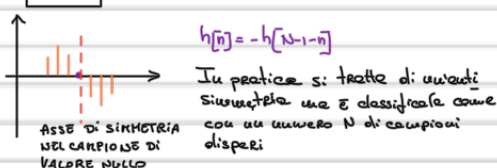
A QUALI FILTRI SI APPLICA

Si applica sia a filtri di tipo FIR (simmetria di tipo 1, 2, 3, 4) oppure a filtri di tipo IIR (simmetria rispetto all'origine)

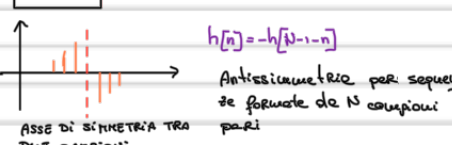
TIPI DI SIMMETRIA PER FILTRI FIR



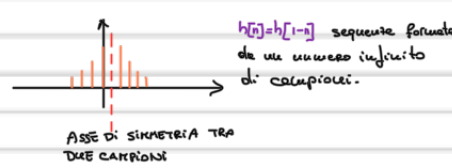
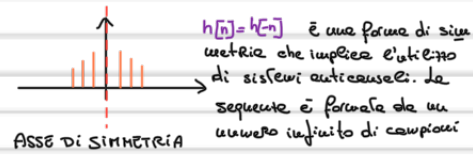
TIPO 3



TIPO 4

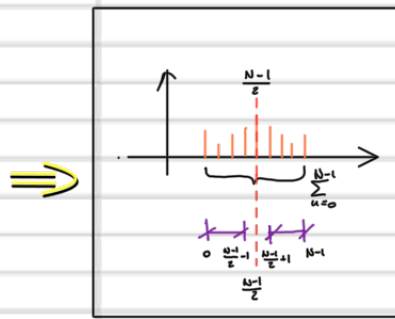


TIPO DI SIMMETRIA PER FILTRI IIR



H(F) PER SIMMETRIA DI TIPO 1 E 2

Caso di studio per TIPO 1, gli altri sono simili con l'unica differenza del punto di divisione delle serie (vds fig. sotto)



dalle definizioni $H(z) = \sum_{n=-\infty}^{\infty} h[n] z^{-n}$ $= \sum_{n=0}^{N-1} h[n] z^{-n}$

$$\sum_{n=0}^{N-1} h[n] z^{-n} + h\left[\frac{N-1}{2}\right] z^{-\frac{N-1}{2}} + \sum_{n=\frac{N-1}{2}+1}^{N-1} h[n] z^{-n} = \dots$$

operando la sostituzione $m = N-1-n \Rightarrow n = \frac{N+1}{2} + m \Rightarrow m = \frac{N-1}{2} - 1, n = N-1 \Rightarrow m = 0$
alla seconda sommatoria otengo

$$\sum_{m=0}^{\frac{N-1}{2}-1} h[m] z^{-\frac{N-1}{2}-(N-1-m)}$$

$$\dots = \sum_{n=0}^{\frac{N-1}{2}-1} h[n] z^{-\frac{N-1}{2}+n} + h\left[\frac{N-1}{2}\right] z^{-\frac{N-1}{2}} + \sum_{m=0}^{\frac{N-1}{2}-1} h[m] z^{-\frac{N-1}{2}-(N-1-m)} = \text{Raggruppo le due sommatorie}$$

$$= \sum_{n=0}^{\frac{N-1}{2}-1} h[n] \left(e^{-j2\pi F n} + e^{-j2\pi F (\frac{N-1}{2}-n)} \right) + h\left[\frac{N-1}{2}\right] e^{-j2\pi F \frac{N-1}{2}} = \begin{cases} \frac{N-1}{2} + x = n & \Rightarrow x = n - \frac{N-1}{2} \\ \frac{N-1}{2} + x = N-1-n & \Rightarrow x = \frac{N-1}{2} - n \end{cases}$$

nuovi esponevi: dopo l'esponentiazione

$$= h\left[\frac{N-1}{2}\right] e^{-j2\pi F \frac{N-1}{2}} + \sum_{n=0}^{\frac{N-1}{2}-1} h[n] e^{-j2\pi F \frac{N-1}{2}} \left(e^{-j2\pi F \left[n - \frac{N-1}{2} \right]} + e^{-j2\pi F \left[\frac{N-1}{2} - n \right]} \right) = e^{-j2\pi F \frac{N-1}{2}} \left[h\left[\frac{N-1}{2}\right] + \sum_{n=0}^{\frac{N-1}{2}-1} h[n] 2 \cos \left(n - \frac{N-1}{2} \right) \right]$$

$= e^{-j2\pi F \frac{N-1}{2}} A(F) = \angle A(F) A(F)$ modulo e fase sono reali con quest'ultima linea

N.B.: allo stesso risultato della simmetria di tipo 1 giungo per le simmetrie di tipo 2 ma nelle considerazioni che il ritardo non è trascurabile

$$H(F) = \sum_{n=0}^{N-1} \dots = \sum_{n=0}^{\frac{N-1}{2}-1} \dots + h\left[\frac{N-1}{2}\right] e^{-j2\pi F \frac{N-1}{2}} + \sum_{n=\frac{N-1}{2}+1}^{N-1} \dots = \dots = e^{-j2\pi F \frac{N-1}{2}} A(F)$$

in campioni in cui $\frac{N-1}{2}$ non è un intero perché N è pari e il centro di simmetria non coincide con nessun campione.

Questions / Note

 $H(F)$ PER SIMMETRIA DI TIPO 3 E 4

Procedo in modo analogo alle simmetrie di tipo 1

$$\begin{aligned}
 H(F) &= \sum_{n=0}^{N-1} h[n] e^{-j2\pi F n} = \sum_{n=0}^{\frac{N-1}{2}-1} h[n] e^{-j2\pi F n} + h\left[\frac{N-1}{2}\right] e^{-j2\pi F \frac{N-1}{2}} - \sum_{n=\frac{N-1}{2}+1}^{N-1} h[n] e^{-j2\pi F n} = \\
 &= \sum_{n=0}^{\frac{N-1}{2}-1} h[n] e^{-j2\pi F n} + h\left[\frac{N-1}{2}\right] e^{-j2\pi F \left[\frac{N-1}{2}\right]} - \sum_{n=0}^{\frac{N-1}{2}-1} h[n] e^{-j2\pi F \left[\frac{N-1-n}{2}\right]} = \dots \\
 &= h\left[\frac{N-1}{2}\right] e^{-j2\pi F \left[\frac{N-1}{2}\right]} + \sum_{n=0}^{\frac{N-1}{2}-1} h[n] \left(e^{-j2\pi F n} - e^{-j2\pi F \left[\frac{N-1-n}{2}\right]} \right) = \dots = \\
 &= e^{-j2\pi F \left[\frac{N-1}{2}\right]} \left[h\left[\frac{N-1}{2}\right] + \sum_{n=0}^{\frac{N-1}{2}-1} h[n] j \sin\left(n - \frac{N-1}{2}\right) \right] = e^{-j2\pi F \left[\frac{N-1}{2}\right]} \left[j \sum_{n=0}^{\frac{N-1}{2}-1} h[n] \sin\left(n - \frac{N-1}{2}\right) \right] = \\
 &= e^{-j2\pi F \left[\frac{N-1}{2}\right]} j A(F)
 \end{aligned}$$

de vedere che Ca faze anche in questo caso il ritardo è reale ed è misurabile
in campioni

da vedere che il termine j può per parte delle fase $e^{-j2\pi F \left[\frac{N-1}{2} + \frac{\pi}{2}\right]}$ opporre
dell'antipetto, in ogni caso $H(F)$ è reale di $\frac{\pi}{2}$.

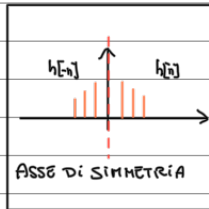
In modo analogo per una simmetria di tipo 4 ottieniamo lo stesso risultato.

$$H(F) = \sum_{n=0}^{N-1} h[n] e^{-j2\pi F n} = \sum_{n=0}^{\frac{N-1}{2}} h[n] e^{j2\pi F n} + h\left[\frac{N-1}{2}\right] e^{-j2\pi F \left[\frac{N-1}{2}\right]} - \sum_{n=\frac{N-1}{2}+1}^{N-1} h[n] e^{-j2\pi F n} = \dots = e^{-j2\pi F \left[\frac{N-1}{2}\right]} j A(F)$$

\Rightarrow In entrambe le simmetrie il termine $h\left[\frac{N-1}{2}\right]$ è nullo se si considera tale dopo il raggruppamento.

 $H(F)$ PER FILTRI IIR

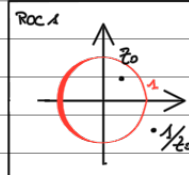
se per tutti i seguenti
è infinito anche se
è rappresentato con una
sequenza infinita.



$\left\{ \begin{array}{l} h[n] \rightarrow H(z) \\ h[-n] \rightarrow H(z^{-1}) \end{array} \right\}$ per le proprietà di simmetria $h[n] = h[-n]$
 si deduce che $H(z) = H(z^{-1})$ per cui se
 z_0 è un polo/zero di $H(z)$ allora $1/z_0$ è
 un polo/zero di $H(z^{-1})$.

Questo significa che per questo tipo di simmetrie la rot
ha poli/zeri i quali se sono reali sono a coppie (ROC1)
mentre se sono complesse sono a doppie coppia (ROC2)

Questi tipi di filtri si implementano con una risposta
impulsiva di tipo bidirezionale quando, come si vede
dagli grafici delle ROC, vi è una parte causale ed
una parte anticausale.



quando un filtro ha
una simmetria informe
all'origine allora il
filtro è a fase nulla.

